

Fig. 1

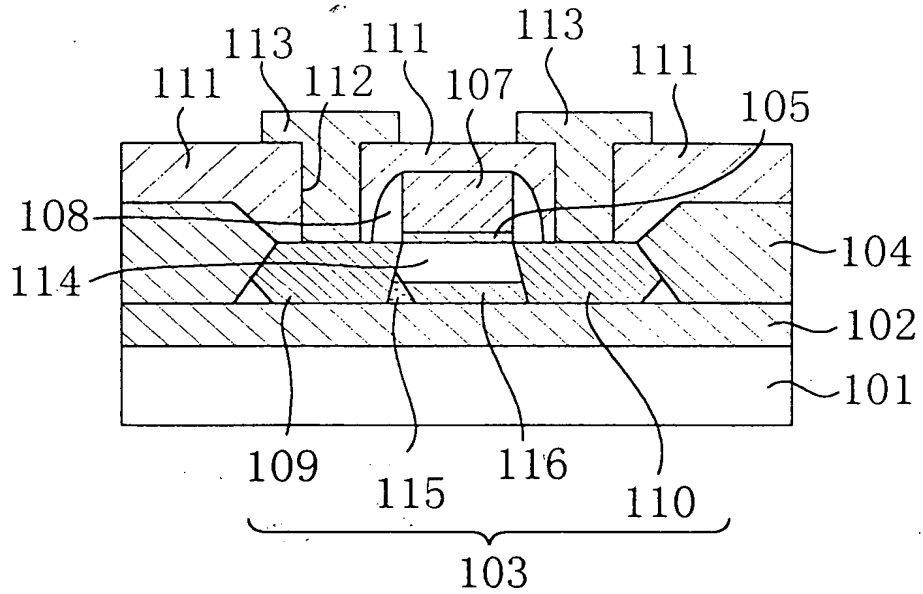


Fig. 2

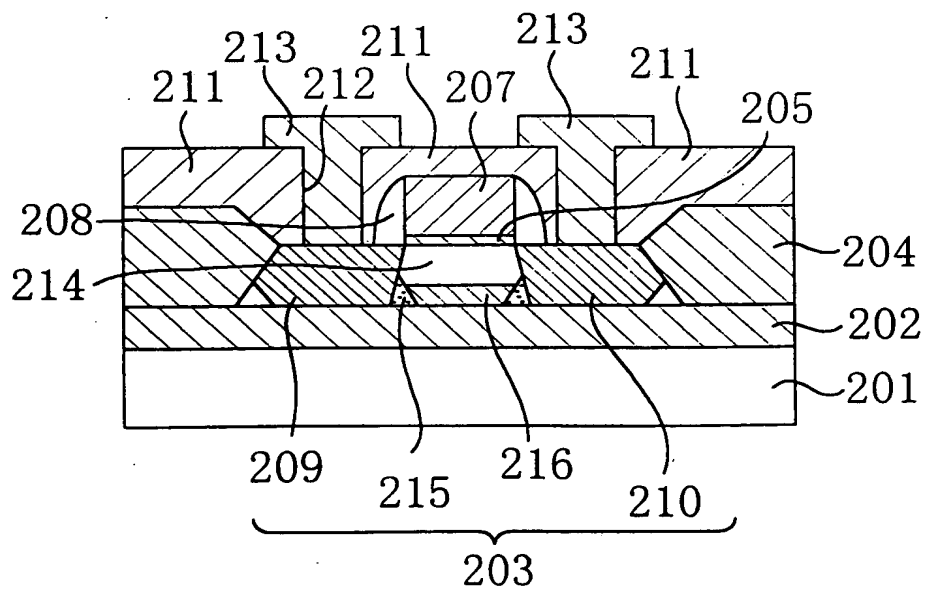
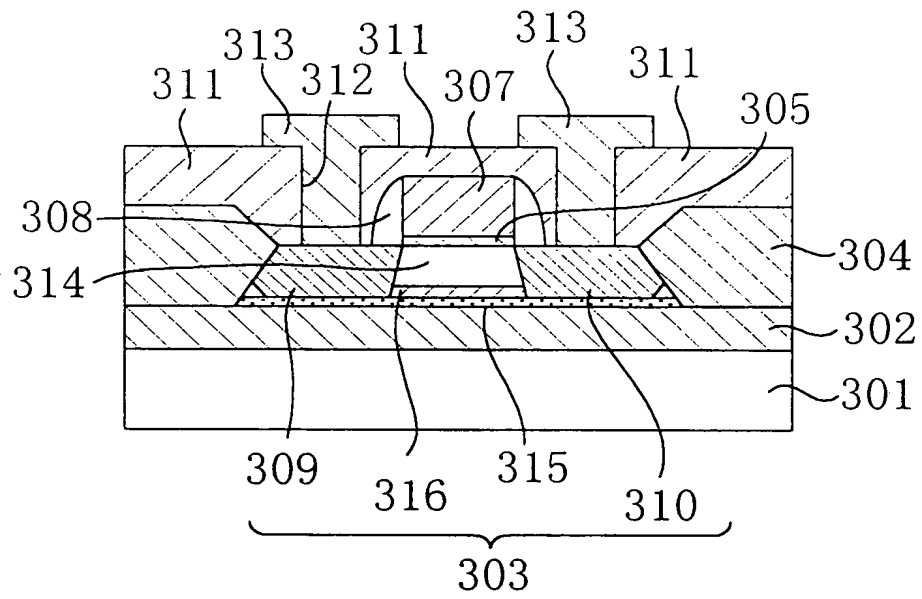
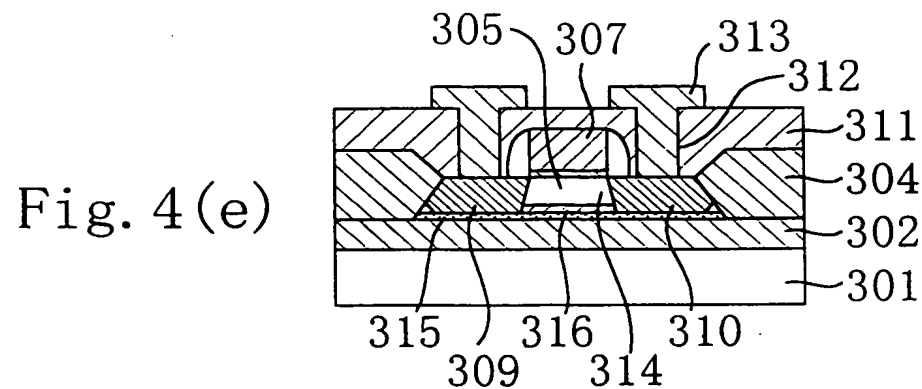
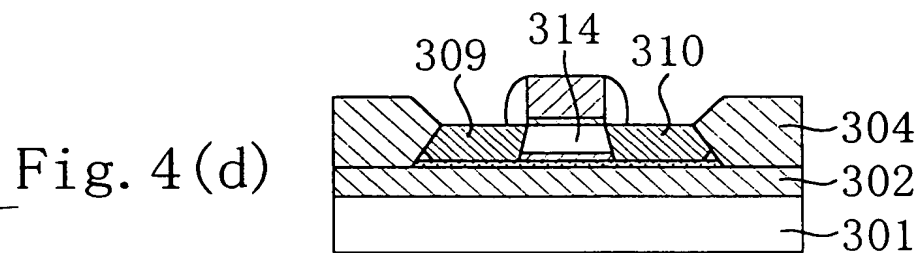
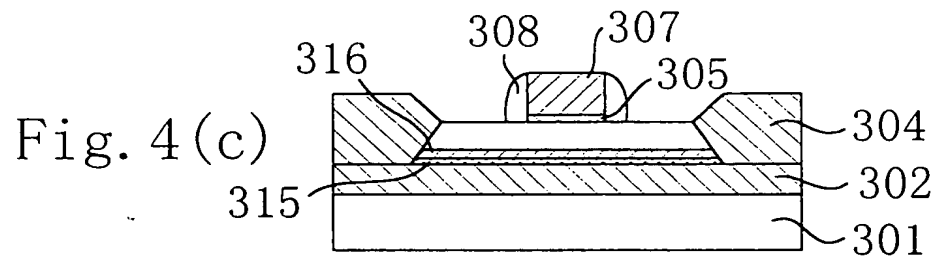
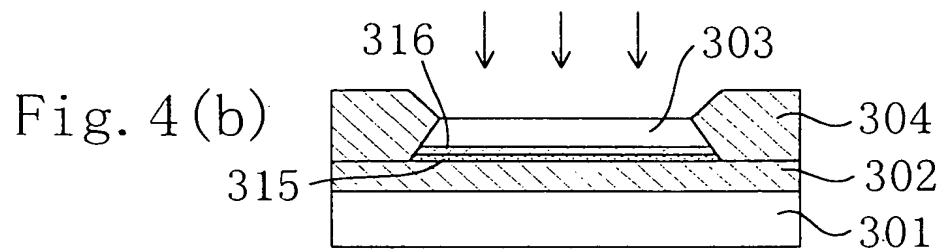
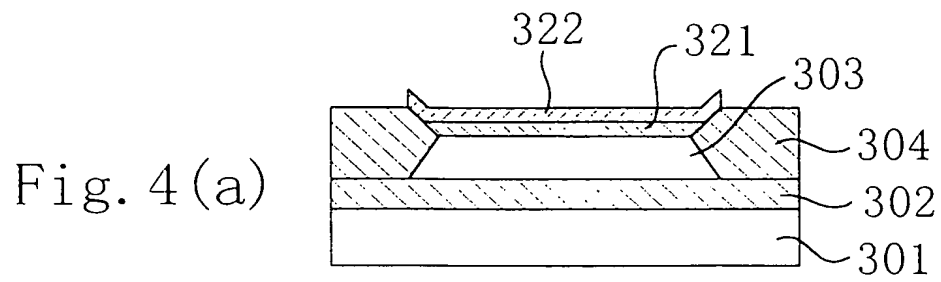


Fig. 3





5
r.
i.
i.

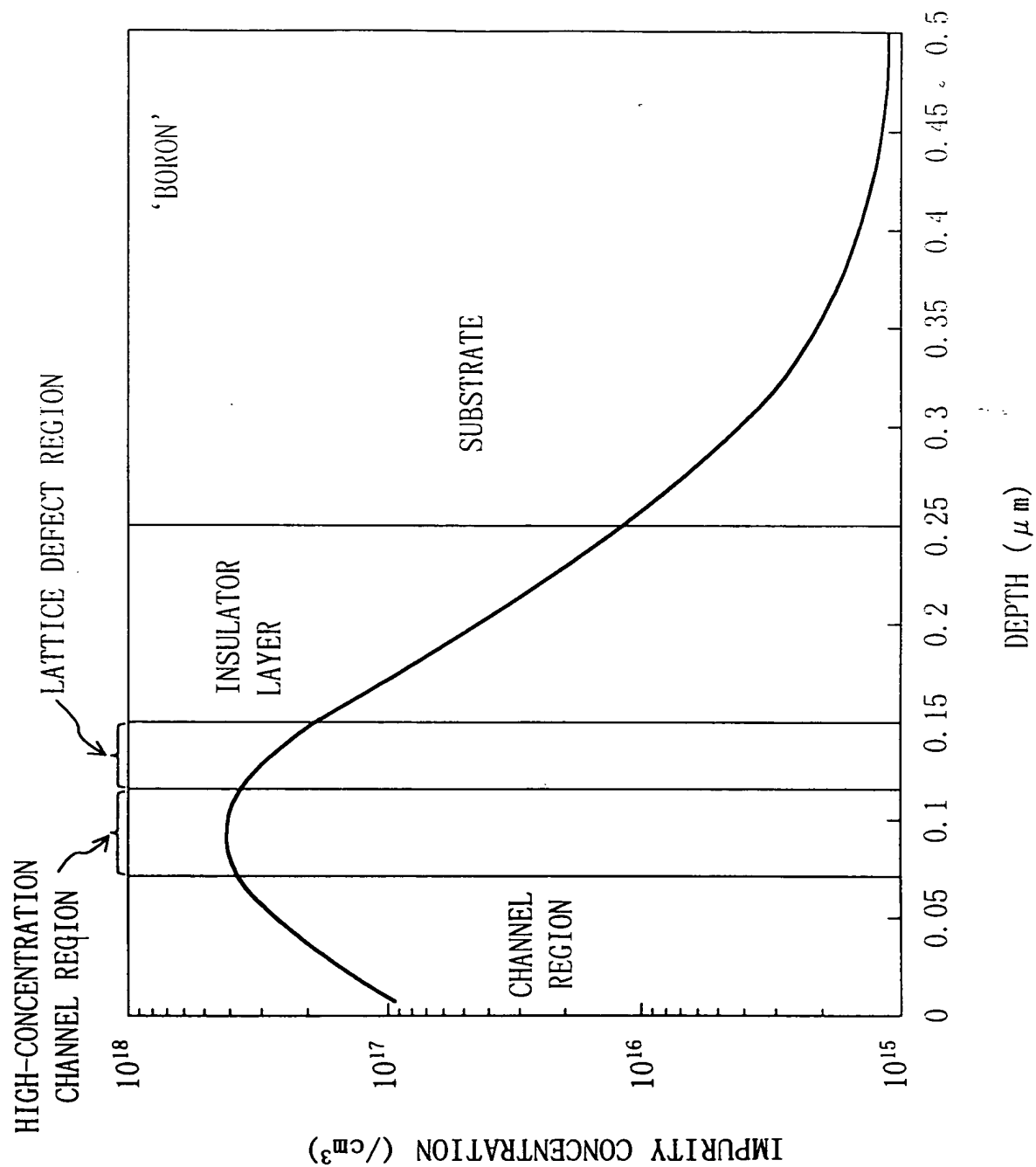


Fig. 6(a)

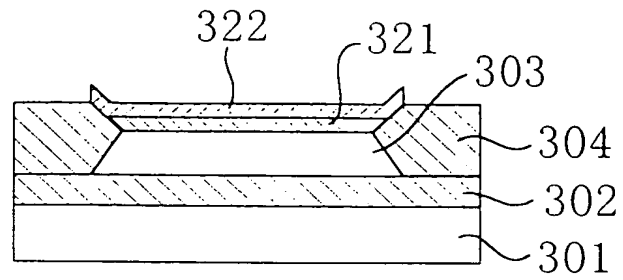


Fig. 6(b)

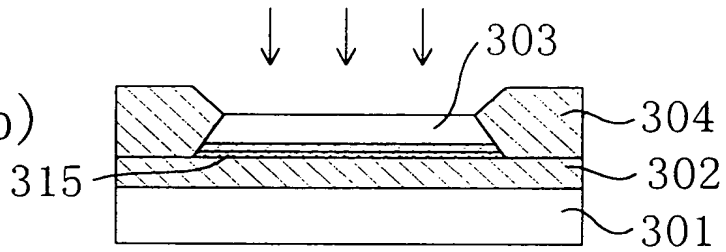


Fig. 6(c)

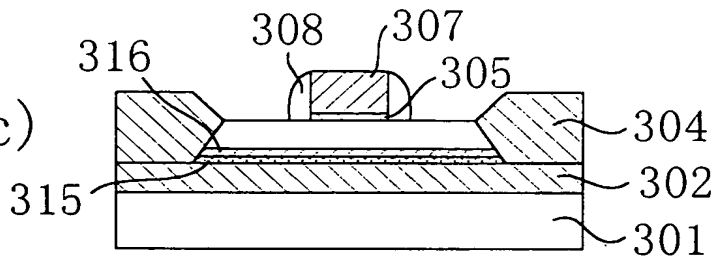


Fig. 6(d)

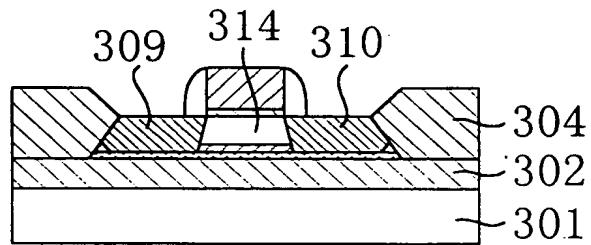


Fig. 6(e)

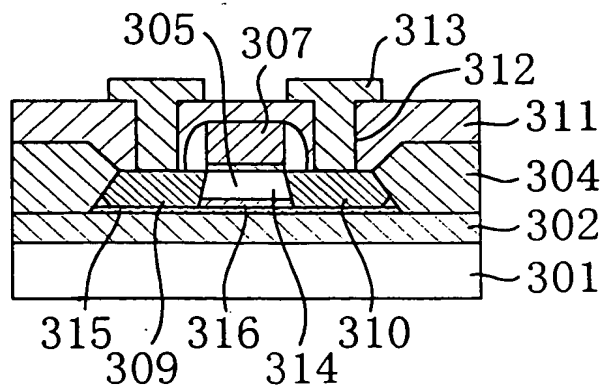


Fig. 7(a)

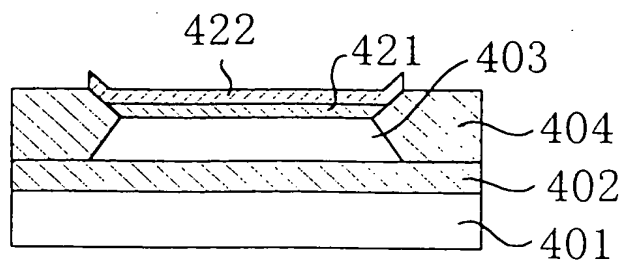


Fig. 7(b)

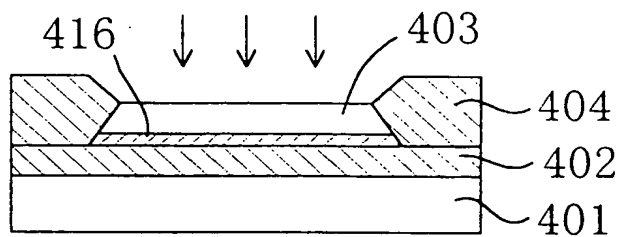


Fig. 7(c)

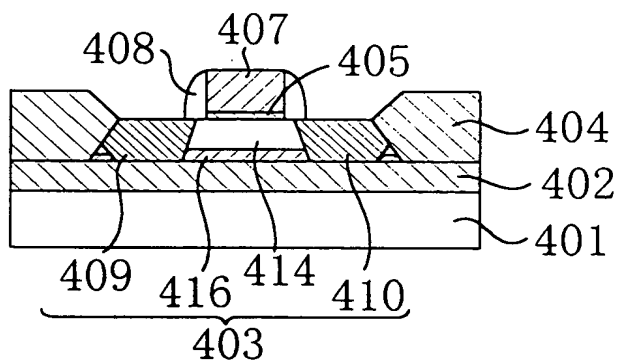


Fig. 7(d)

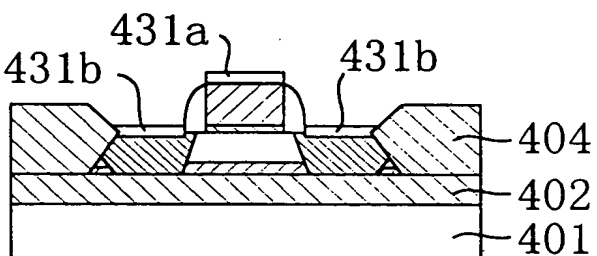
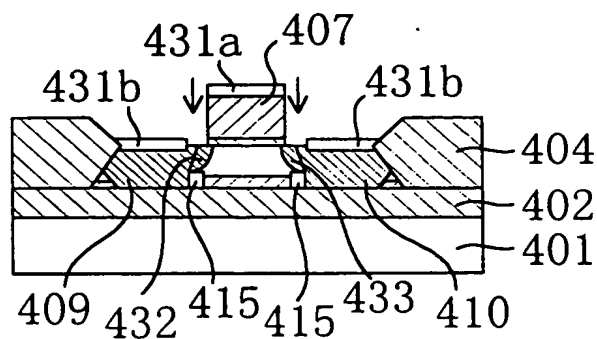
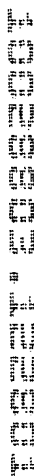
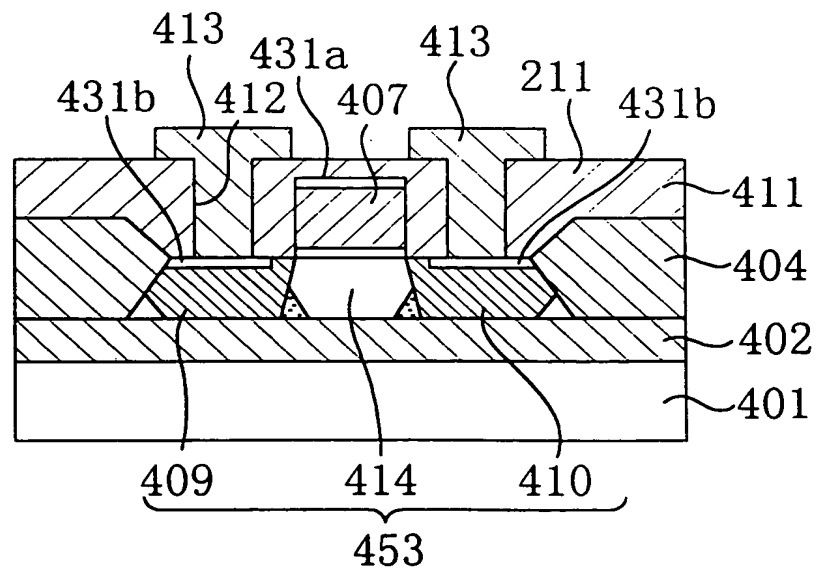


Fig. 7(e)





Abstract



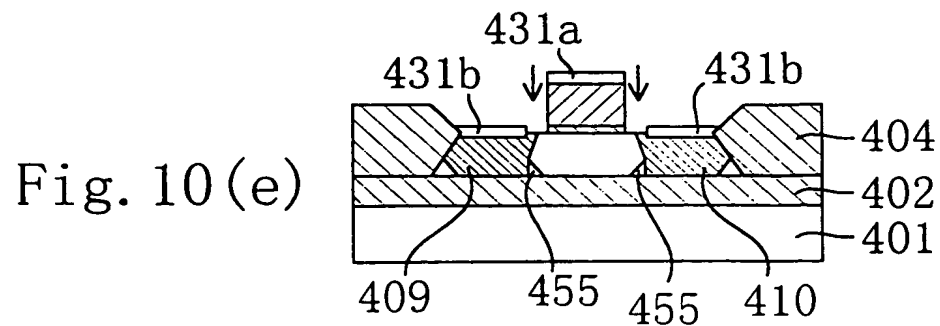
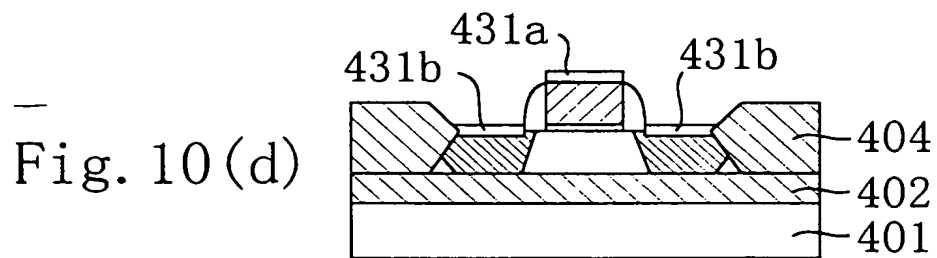
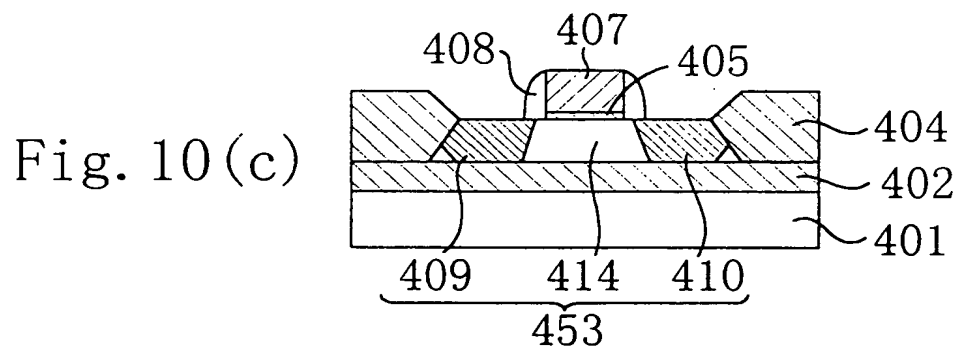
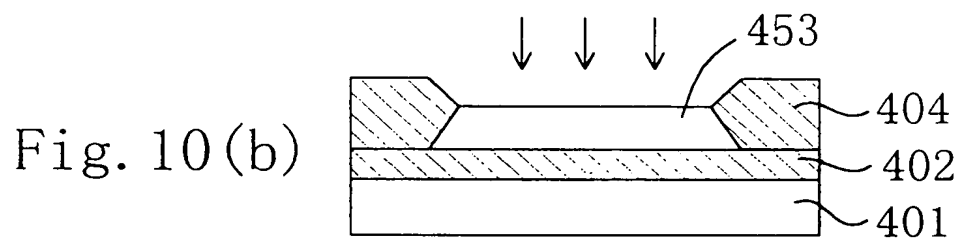
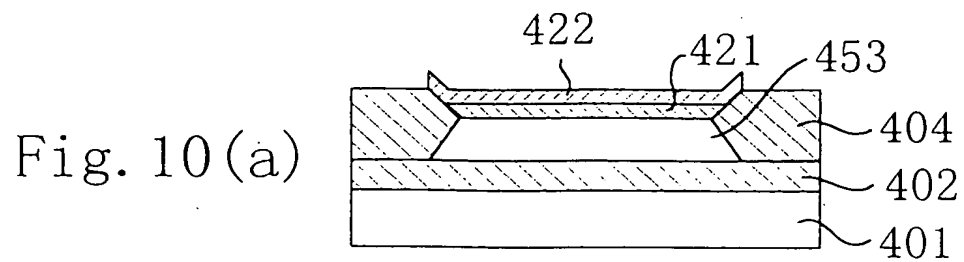
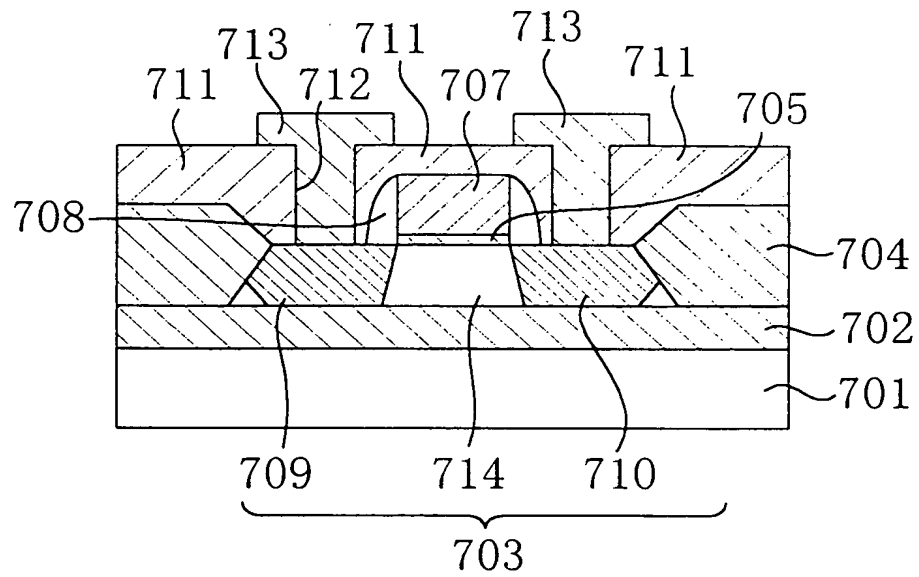


Fig. 11



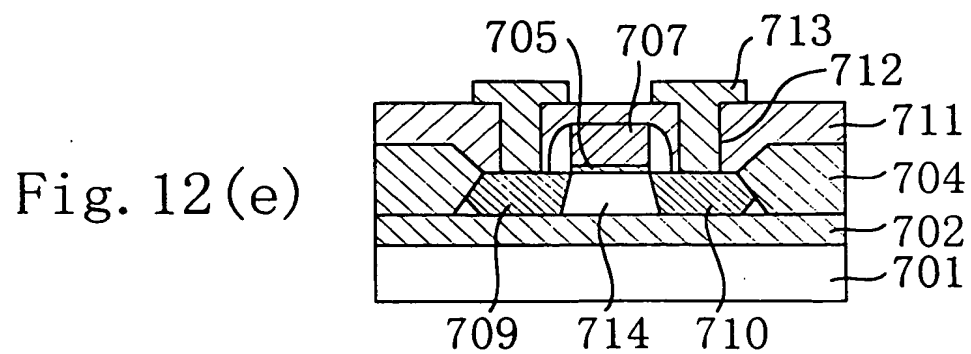
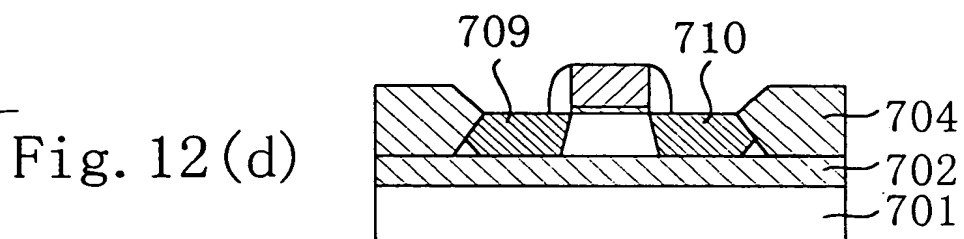
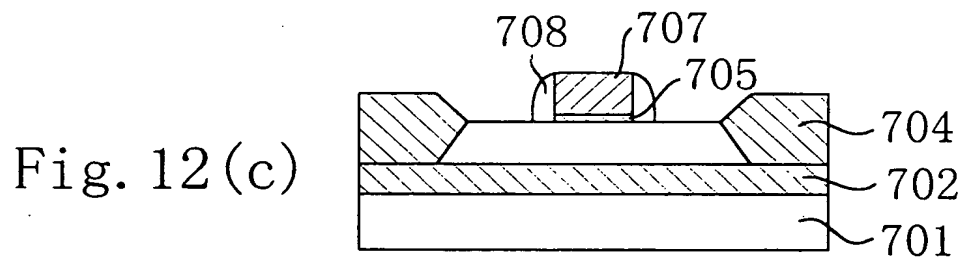
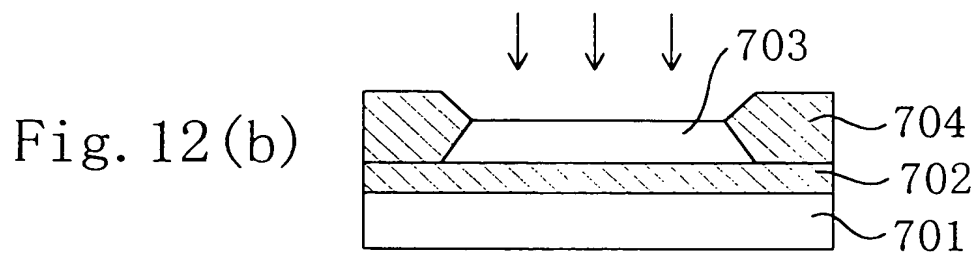
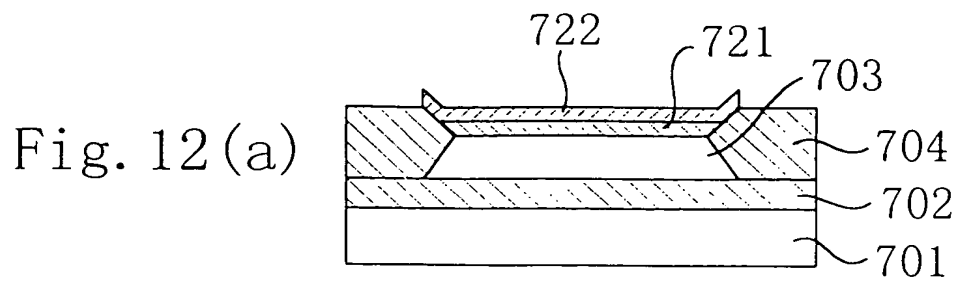


Fig. 13(a)

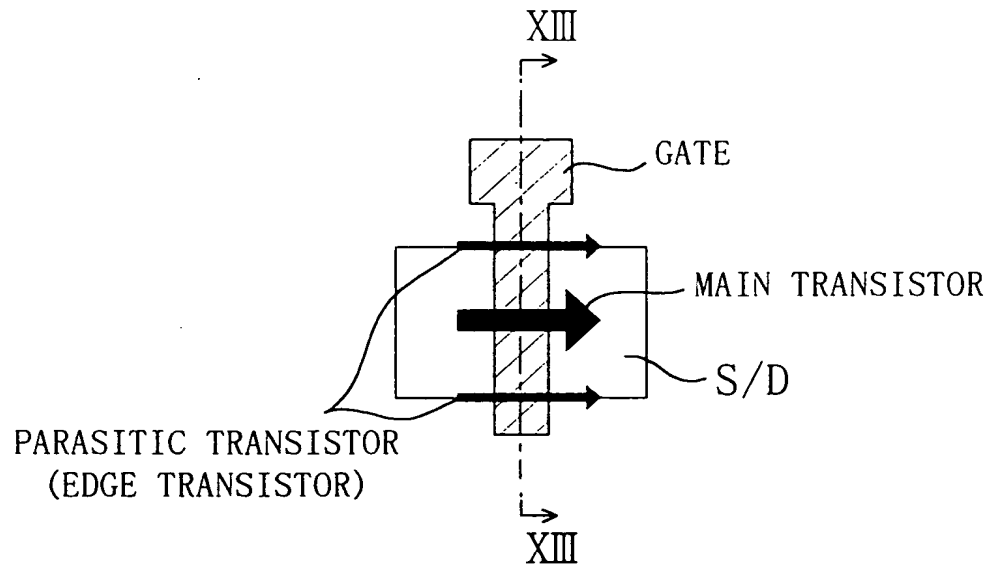


Fig. 13(b)

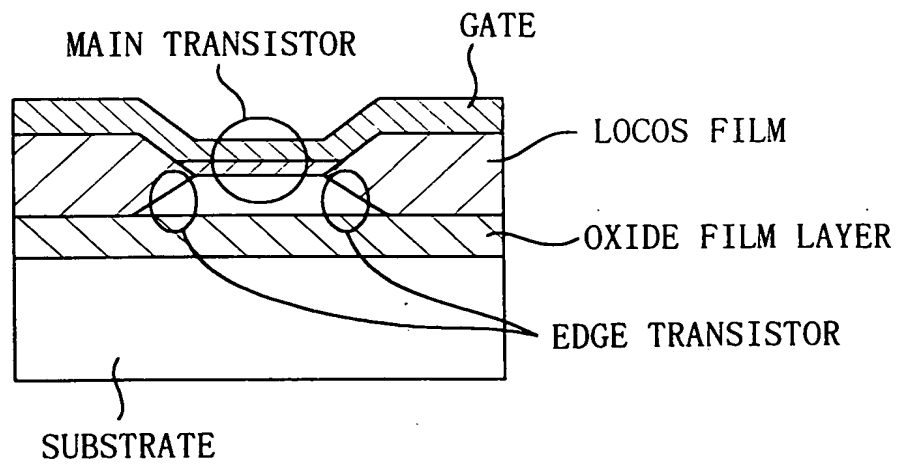


Fig. 14

